

2022 하계 세미나

Cross Attention Module



Sogang University

Vision & Display Systems Lab, Dept. of Electronic Engineering



Presented by

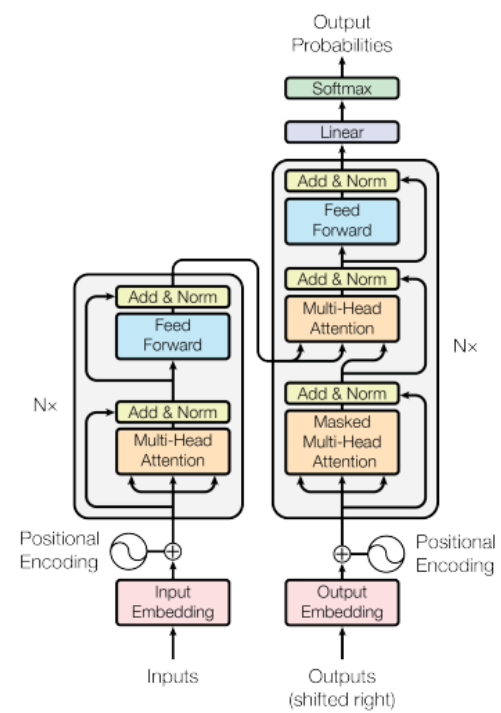
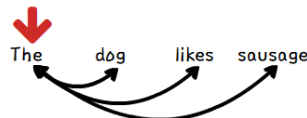
유현우

Outline

- Background
 - Attention is all you need
- Cross attention module
 - Transformer backbone
 - CrossViT : Cross-Attention Multi-Scale Vision Transformer for Image Classification (ICCV 2021)
 - Multimodal
 - LAVT : Language-Aware Vision Transformer for Referring Image Segmentation (CVPR 2022)
- Conclusion

Background

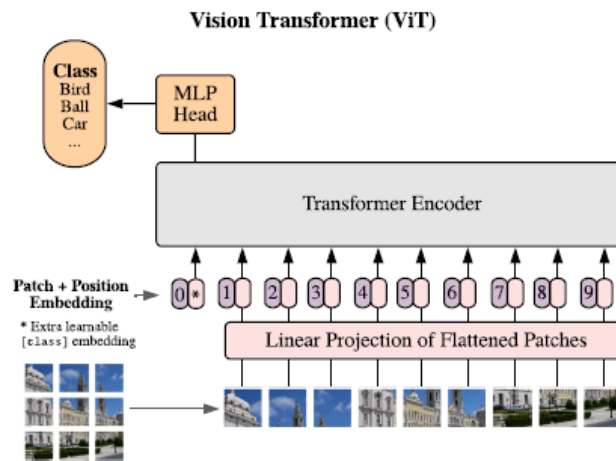
- Attention is all you need[1]
 - 자연어 처리 분야에서 transformer 구조를 제안
 - Encoder 단에서 self attention을 이용해 global feature representation을 수행
 - Decoder 단에서 encoder-decoder attention(cross attention)을 사용
 - Encoder 최종 출력 feature를 decoder에서 key, value로 사용
 - Decoder time step에 따라 iteration



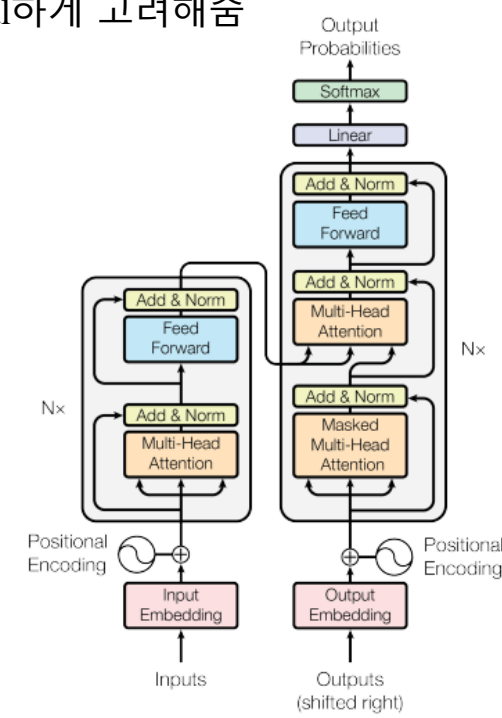
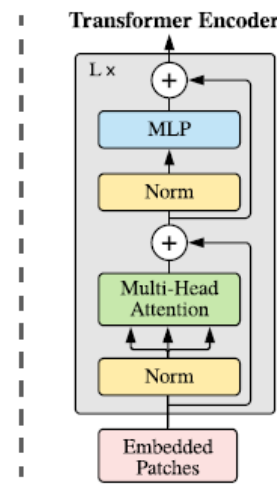
Transformer

Background

- Vision transformer[1]
 - 자연어 처리에서 사용되는 transformer를 vision task에 적용한 연구
 - Image를 patch 단위로 나누어 embedding한 후 self-attention을 이용해 feature representation을 수행
 - Embedding된 patch간의 관계를 self-attention layer에서 global하게 고려해줌

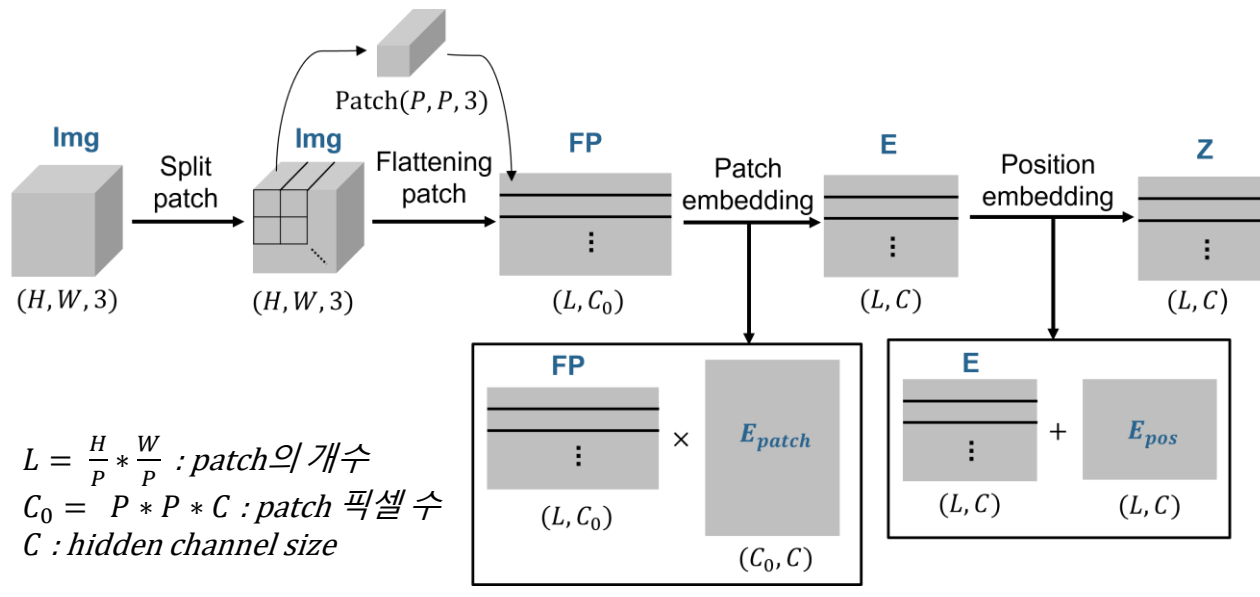


Vision Transformer



Background

- Self attention
 - Input patch를 flatten한 후 linear projection을 이용해 patch embedding 수행
 - Patch를 대표하는 feature를 1d token의 형태로 표현
 - Linear projection 연산은 MLP layer 또는 1x1 convolution으로 수행 가능



Background

- Self attention
 - Learnable parameter로 linear projection을 수행하여 query, key, value 생성
 - Query, key간의 연산(Key · Query.transpose)을 통해 얻은 가중치를 value에 적용

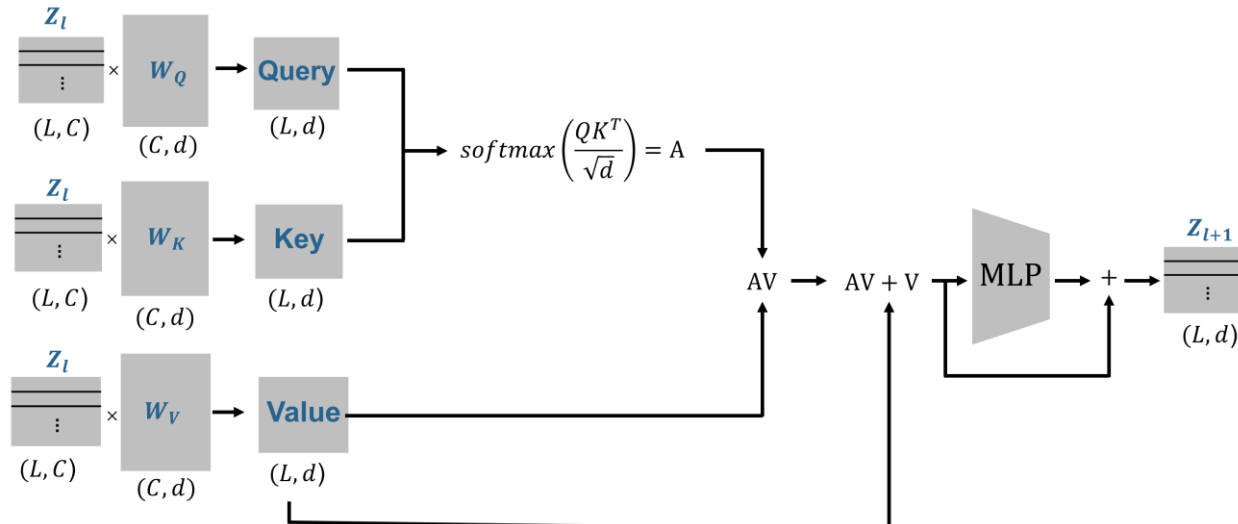
$$[\mathbf{q}, \mathbf{k}, \mathbf{v}] = \mathbf{z} \mathbf{U}_{qkv}$$

$$\mathbf{U}_{qkv} \in \mathbb{R}^{D \times 3D_h},$$

$$A = \text{softmax}\left(\mathbf{q}\mathbf{k}^\top / \sqrt{D_h}\right)$$

$$A \in \mathbb{R}^{N \times N},$$

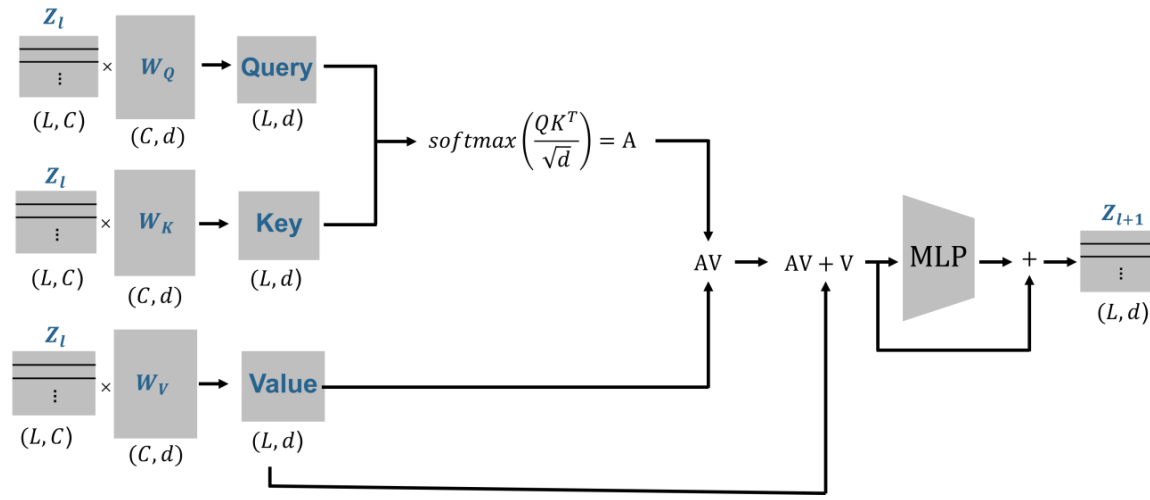
$$\text{SA}(\mathbf{z}) = A\mathbf{v}.$$



Self-attention overview

Background

- Self attention
 - Global feature representation
 - 특정 patch가 모든 영역의 patch간의 관계를 참조
 - Query, key, value 기반의 attention 구조
 - Query와 key간의 관계를 참조해 얻은 정보를 value에 적용해서 출력하여
 - Query와 key간의 similarity를 기반으로 attention을 가해주는 방식
 - 다른 attention 기법 중 channel pooling해서 spatial relation을 고려해주거나 spatial pooling해서 channel relation을 고려해서 attention을 해주는 방법이 있음



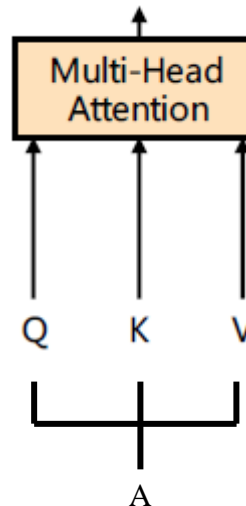
Self-attention overview

Background

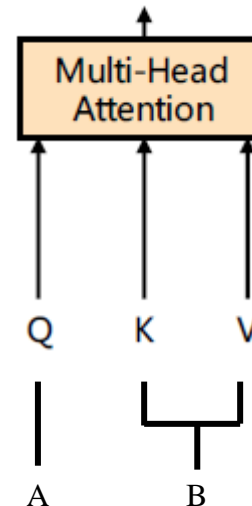
- Vision transformer
 - Transformer 기반 백본들은 전부 attention is all you need에 제안된 self attention 기반 encoder 만 사용하는 것
 - 그러니까 self attention이 global feature representation이 가능하다는 장점에 주목
 - Global을 고려해주는 것을 대체할 수 있으면 self-attention은 필요 없다는 연구가 다수 등장
 - 하지만 Query key value 기반의 attention 구조를 활용하여 다양한 task에 적용할 수 있음

Background

- Cross attention
 - Cross attention은 self attention과 mechanism은 동일하나 input의 출처가 다름
 - query, key, value 기반의 attention 구조의 장점을 활용하는 cross attention이 있음
 - key value값을 통해 어떻게 attention 해줄지를 설정
 - Key, value를 어떻게 설정하느냐에 따라서 특정 inductive bias를 가해줄 수 있음
 - Multi scale 또는 multi modal 등을 fusion 하는 연구에 사용



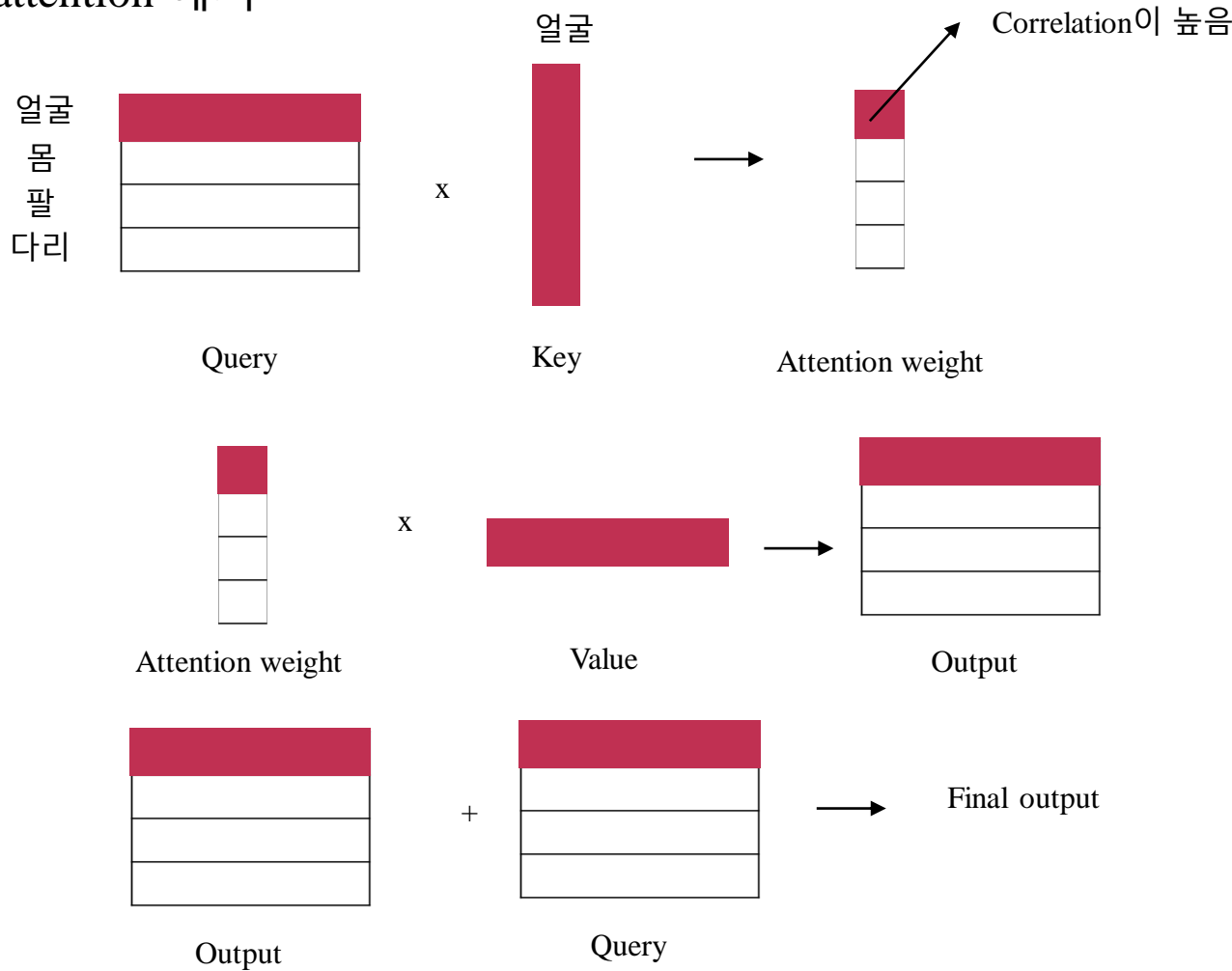
Self attention



Cross attention

Background

- Cross attention 예시



CrossViT[1]

- Vision transformer에서 patch size는 성능에 영향을 미침
 - Patch size 16x16과 32x32를 비교해 보았을 때 16x16에서 성능이 더 좋지만 self-attention에서 computational cost가 quadratic하게 증가함
 - Self attention computational cost : $2cp^2$ (c: token dimension, p : patch 개수)
- 또한 multi scale feature representation은 CNN기반 vision task에서 좋은 성능을 보여줌
 - Multi scale feature가 CNN에 도움이 되는 것으로 나타났지만 vision transformer에서는 이러한 잠재적 이점이 검증되어야 함

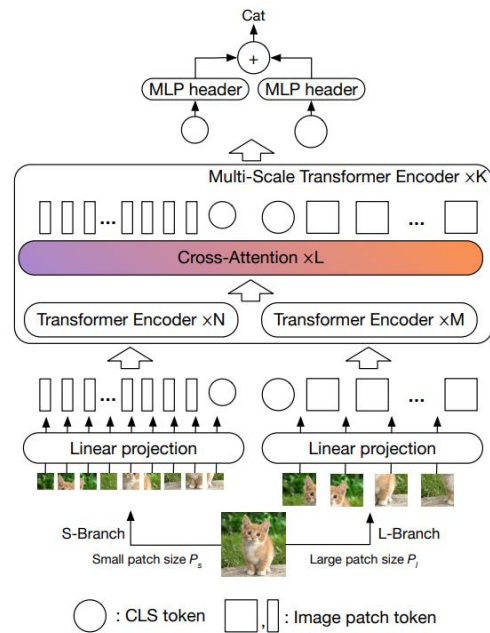
name	Epochs	ImageNet	ImageNet ReaL	CIFAR-10	CIFAR-100	Pets	Flowers	exaFLOPs
ViT-B/32	7	80.73	86.27	98.61	90.49	93.40	99.27	55
ViT-B/16	7	84.15	88.85	99.00	91.87	95.80	99.56	224
ViT-L/32	7	84.37	88.28	99.19	92.52	95.83	99.45	196
ViT-L/16	7	86.30	89.43	99.38	93.46	96.81	99.66	783

Patch size에 따른 ViT 성능 비교

CrossViT

- CrossViT architecture

- CrossViT에서는 ViT 구조에서 multi scale feature representation을 하기 위해 patch embedding 단계에서 patch size를 다르게 설정해줌
- 그리고 각각을 transformer layer를 이용해 embedding한 후 Cross-attention을 이용해 feature fusion



CrossViT architecture

CrossViT

- Multi-scale fusion
 - Exchange information
 - (A) all attention fusion : simply concatenate 후 self-attention
 - (B) class token fusion : 두 branch의 class token을 sum
 - (C) pairwise fusion : 두 branch의 class token끼리 sum하고 patch token끼리 sum
 - (D) cross-attention : 한 branch의 class token과 다른 branch의 patch token간의 cross attention

Fusion	Top-1 Acc. (%)	FLOPs (G)	Params (M)	Single Branch Acc. (%)	
	L-Branch	S-Branch			
None	80.2	5.3	23.7	80.2	0.1
All-Attention	80.0	7.6	27.7	79.9	0.5
Class Token	80.3	5.4	24.2	80.6	7.6
Pairwise	80.3	5.5	24.2	80.3	7.3
Cross-Attention	81.0	5.6	26.7	68.1	47.2

Table 6: Ablation study with different fusions on ImageNet1K. All models are based on CrossViT-S. Single branch Acc. is computed using CLS from one branch only.

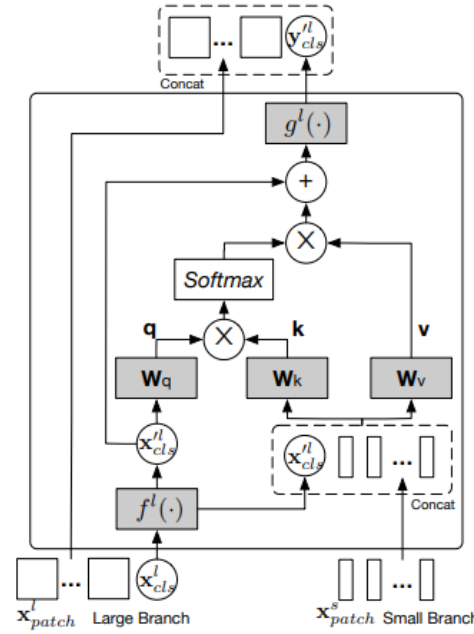


Multi-scale fusion method

CrossViT

- Multi-scale fusion (large branch 기준)
 - Large branch의 class token을 query로 하고 small branch의 patch token을 key로 하여 cross attention 수행
 - Query를 class token만 사용하므로 Efficient함
 - Small branch가 query일 때는 위의 과정을 반대로 수행
 - 특정 branch의 class token과 다른 branch의 patch token이 Exchange information

$$\begin{aligned} \mathbf{q} &= \mathbf{x}_{cls}^l \mathbf{W}_q, \quad \mathbf{k} = \mathbf{x}^l \mathbf{W}_k, \quad \mathbf{v} = \mathbf{x}^l \mathbf{W}_v, \\ \mathbf{A} &= \text{softmax}(\mathbf{q}\mathbf{k}^T / \sqrt{C/h}), \quad \text{CA}(\mathbf{x}^l) = \mathbf{A}\mathbf{v}, \end{aligned}$$



Cross-attention for large branch

CrossViT

- Results

- 다른 fusion 방법론을 사용했을 때 결과 비교에서 sota가 아님

Fusion	Top-1 Acc. (%)	FLOPs (G)	Params (M)	Single Branch Acc. (%)	
				L-Branch	S-Branch
None	80.2	5.3	23.7	80.2	0.1
All-Attention	80.0	7.6	27.7	79.9	0.5
Class Token	80.3	5.4	24.2	80.6	7.6
Pairwise	80.3	5.5	24.2	80.3	7.3
Cross-Attention	81.0	5.6	26.7	68.1	47.2

Table 6: Ablation study with different fusions on ImageNet1K. All models are based on CrossViT-S. Single branch Acc. is computed using CLS from one branch only.

Model	Top-1 Acc. (%)	FLOPs (G)	Throughput (images/s)	Params (M)
DeiT-Ti	72.2	1.3	2557	5.7
CrossViT-Ti	73.4 (+1.2)	1.6	1668	6.9
CrossViT-9	73.9 (+0.5)	1.8	1530	8.6
CrossViT-9†	77.1 (+3.2)	2.0	1463	8.8
DeiT-S	79.8	4.6	966	22.1
CrossViT-S	81.0 (+1.2)	5.6	690	26.7
CrossViT-15	81.5 (+0.5)	5.8	640	27.4
CrossViT-15†	82.3 (+0.8)	6.1	626	28.2
DeiT-B	81.8	17.6	314	86.6
CrossViT-B	82.2 (+0.4)	21.2	239	104.7
CrossViT-18	82.5 (+0.3)	9.0	430	43.3
CrossViT-18†	82.8 (+0.3)	9.5	418	44.3

Table 2: Comparisons with DeiT baseline on ImageNet1K. The numbers in the bracket show the improvement from each change. See Table 1 for model details.

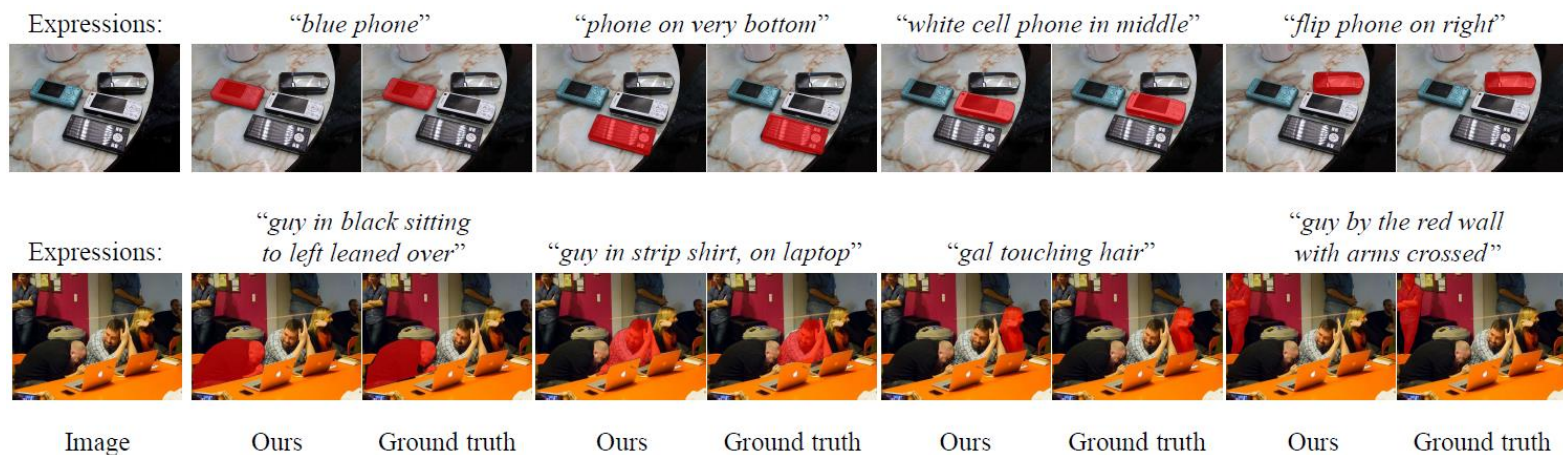
Model	Top-1 Acc. (%)	FLOPs (G)	Params (M)
Peceiver [19] (arXiv, 2021-03)	76.4	—	43.9
DeiT-S [35] (arXiv, 2020-12)	79.8	4.6	22.1
CentroidViT-S [42] (arXiv, 2021-02)	80.9	4.7	22.3
PVT-S [38] (arXiv, 2021-02)	79.8	3.8	24.5
PVT-M [38] (arXiv, 2021-02)†	81.2	6.7	44.2
T2T-ViT-14 [45] (arXiv, 2021-01)	80.7	6.1*	21.5
TNT-S [14] (arXiv, 2021-02)	81.3	5.2	23.8
CrossViT-15 (Ours)	81.5	5.8	27.4
CrossViT-15† (Ours)	82.3	6.1	28.2
ViT-B@384 [1] (ICLR, 2021)	77.9	17.6	86.6
DeiT-B [35] (arXiv, 2020-12)	81.8	17.6	86.6
PVT-L [38] (arXiv, 2021-02)	81.7	9.8	61.4
T2T-ViT-19 [45] (arXiv, 2021-01)	81.4	9.8*	39.0
T2T-ViT-24 [45] (arXiv, 2021-01)	82.2	15.0*	64.1
TNT-B [14] (arXiv, 2021-02)	82.8	14.1	65.6
CrossViT-18 (Ours)	82.5	9.0	43.3
CrossViT-18† (Ours)	82.8	9.5	44.3

*: We recompute the flops by using our tools.

Table 3: Comparisons with recent transformer-based models on ImageNet1K. All models are trained using only ImageNet1K dataset. Numbers are referenced from their recent version as of the submission date.

LAVT[1]

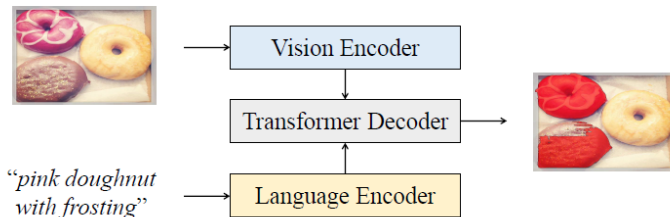
- Referring image segmentation
 - Multi modal : vision 뿐만 아니라 text, audio와 같은 다양한 modal의 data를 사용하여 학습하는 분야
 - Visual ground : text가 input 되었을 때 이미지 내에서 해당되는 영역을 detecting하는 task
 - Referring segmentation : visual grounding의 한 분야로 text가 input 되었을 때 해당 영역을 pixel단위로 segmentation 하는 task



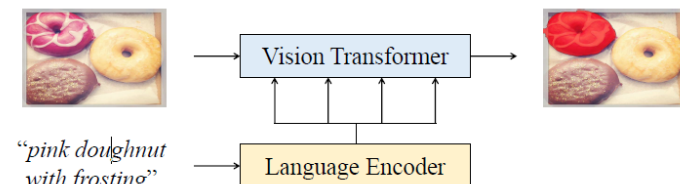
LAVT

- Referring image segmentation
 - Referring segmentation을 하기 위해서는 vision encoder와 language encoder를 함께 학습시켜야 함
 - Vision network가 language를 aware해서 feature representation 하는 것이 목표
 - Vision encoder와 language encoder에서 독립적으로 추출된 feature를 alignment하기 위해 fusion
 - 여기서 alignment는 다른 modal의 feature를 동일 space로 mapping해서 다루기 위해 feature를 유사한 형태로 만들어주는 과정
 - 기존에는 transformer decoder를 이용해서 fusion
 - 즉, aligning the vision and language feature를 하는데 decoder 단만 활용
 - Transformer decoder는 cross attention을 기반으로 이루어짐

(a) A paradigm of previous state-of-the-art methods



(b) LAVT (ours)



LAVT

- LAVT architecture

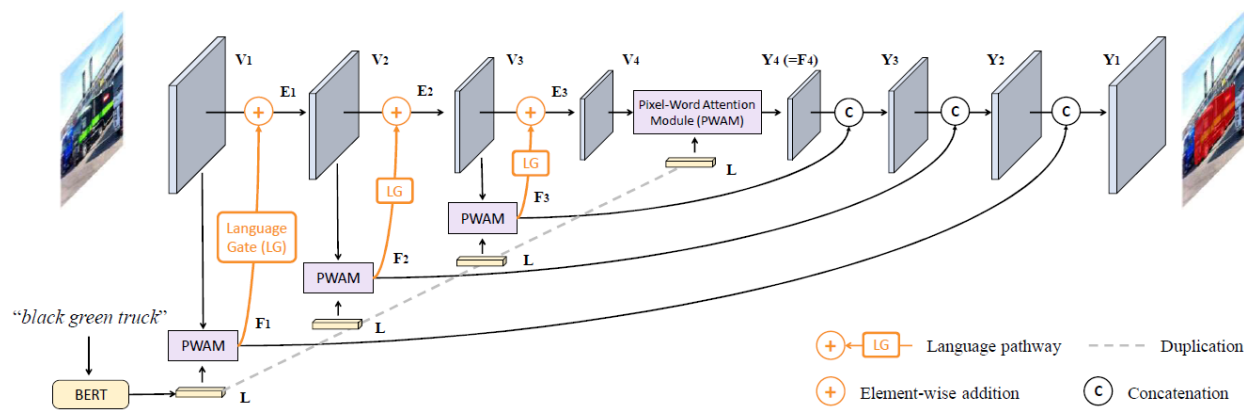
- 두 modal 간의 alignment를 vision encoder인 transformer layer에서 진행

- Vision encoder는 swin transformer backbone을 사용하고 language encoder는 BERT를 사용
 - BERT를 이용해 input expression 을 high dimensional word vector로 embedding
 - Embedding된 language feature를 vision encoder를 학습시킬 때 사용

- Vision encoder에서 stage별로 Pixel-Word Attention Module(PWAM)를 활용

- Vision encoder에서 vision and language feature를 jointly embedding

↳ Linguistic feature를 visual feature에 densely integrate



LAVT architecture

LAVT

- Cross modal alignment

- Input visual feature(V_i)를 query, input linguistic feature (L) 를 key, value로 사용하여 cross attention 수행

- Visual feature가 pixel 단위로 linguistic feature를 참조하여 linguistic information을 수집

$$\therefore V_{iq} = \text{flatten}(w_{iq}(V_i))$$

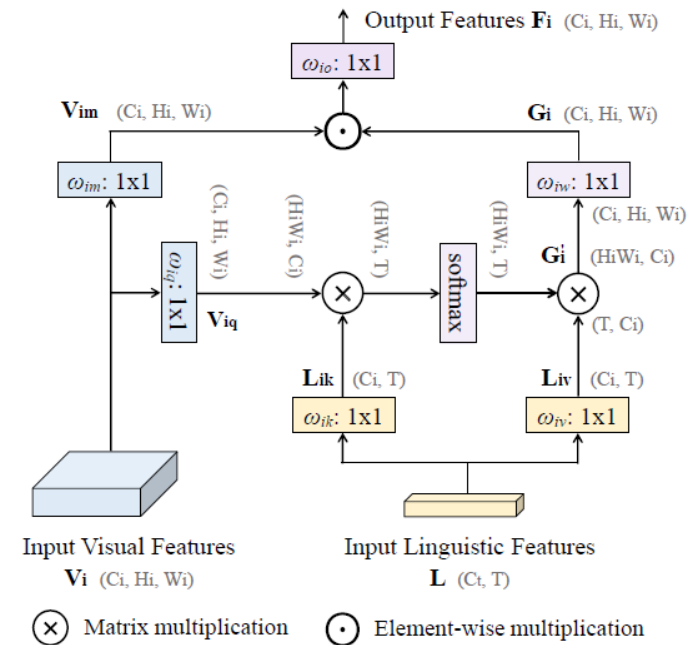
$$\therefore L_{ik} = w_{ik}(L), L_{iv} = w_{iv}(L)$$

$$\therefore G'_i = \text{softmax}\left(\frac{V_{iq}^T L_{ik}}{\sqrt{C_i}}\right) L_{iv}^T$$

$$\therefore G_i = w_{iw}(\text{unflatten}(G'^T))$$

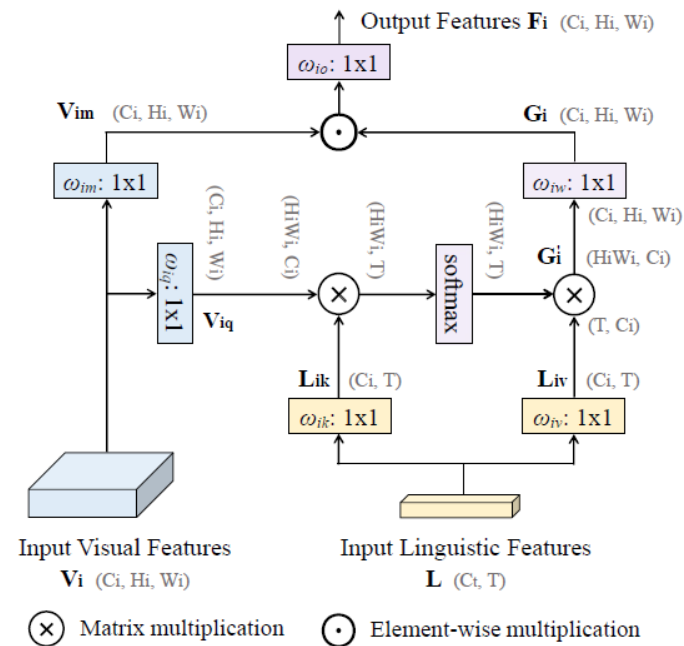
$$V_i \in \mathbb{R}^{C_i \times H_i \times W_i}$$

$$L \in \mathbb{R}^{C_t \times T}$$



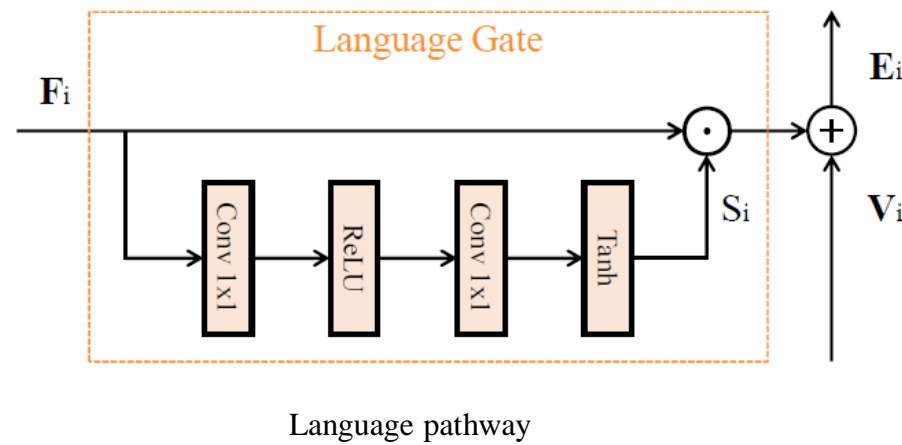
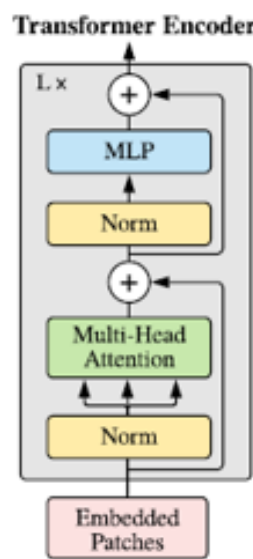
LAVT

- Cross modal alignment
 - G_i 는 V_i 와 spatial size가 같은 set of linguistic feature maps
 - 이를 V_{im} 과 element wise multiplication을 통해 visual feature map에 projection
 - $V_{im} = w_{im}(V_i)$
 - $F_i = w_{io}(V_{im} \odot G_i)$



LAVT

- Cross modal alignment
 - PWAM을 수행한 후 language pathway를 통과하는데 이는 기존 transformer encoder에서 사용되는 feed-forward layer와 동일



LAVT

- Results

Method	Language Model	RefCOCO			RefCOCO+			G-Ref		
		val	test A	test B	val	test A	test B	val (U)	test (U)	val (G)
DMN [43]	SRU	49.78	54.83	45.13	38.88	44.22	32.29	-	-	36.76
RRN [30]	LSTM	55.33	57.26	53.93	39.75	42.15	36.11	-	-	36.45
MAttNet [63]	Bi-LSTM	56.51	62.37	51.70	46.67	52.39	40.08	47.64	48.61	-
CMSA [62]	None	58.32	60.61	55.09	43.76	47.60	37.89	-	-	39.98
CAC [8]	Bi-LSTM	58.90	61.77	53.81	-	-	-	46.37	46.95	44.32
STEP [5]	Bi-LSTM	60.04	63.46	57.97	48.19	52.33	40.41	-	-	46.40
BRINet [23]	LSTM	60.98	62.99	59.21	48.17	52.32	42.11	-	-	48.04
CMPC [24]	LSTM	61.36	64.53	59.64	49.56	53.44	43.23	-	-	49.05
LSCM [25]	LSTM	61.47	64.99	59.55	49.34	53.12	43.50	-	-	48.05
CMPC+ [34]	LSTM	62.47	65.08	60.82	50.25	54.04	43.47	-	-	49.89
MCN [41]	Bi-GRU	62.44	64.20	59.71	50.62	54.99	44.69	49.22	49.40	-
EFN [15]	Bi-GRU	62.76	65.69	59.67	51.50	55.24	43.01	-	-	51.93
BUSNet [58]	Self-Att	63.27	66.41	61.39	51.76	56.87	44.13	-	-	50.56
CGAN [40]	Bi-GRU	64.86	68.04	62.07	51.03	55.51	44.06	51.01	51.69	46.54
LTS [27]	Bi-GRU	65.43	67.76	63.08	54.21	58.32	48.02	54.40	54.25	-
VLT [13]	Bi-GRU	65.65	68.29	62.73	55.50	59.20	49.36	52.99	56.65	49.76
LAVT (Ours)	BERT	72.73	75.82	68.79	62.14	68.38	55.10	61.24	62.09	60.50

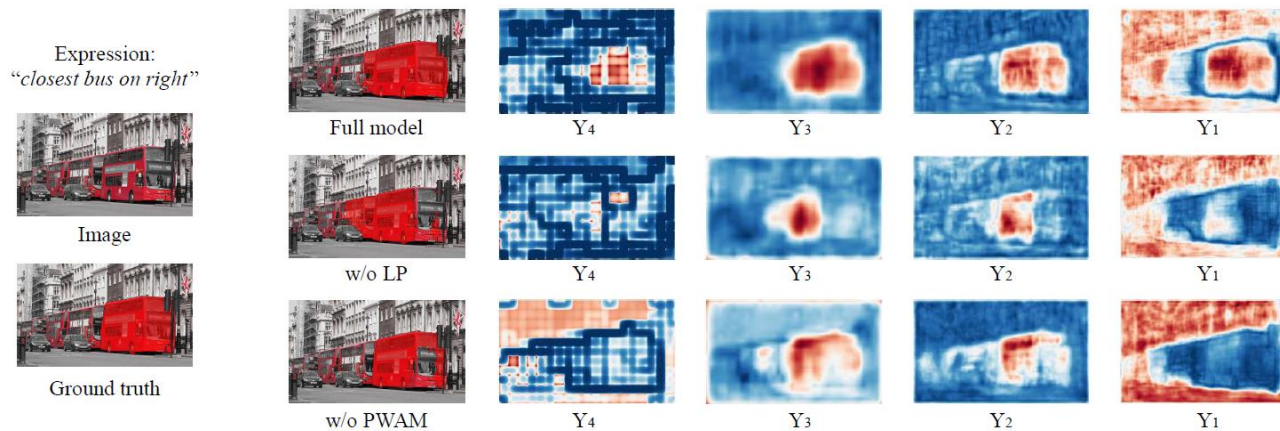
Table 1. Comparison with state-of-the-art methods in terms of overall IoU on three benchmark datasets. U: The UMD partition. G: The Google partition. We refer to the language model of each reference method as the main learnable function that transforms word embeddings before multi-modal feature fusion. Interested readers can refer to the respective papers for embedding initialization and other details.

LAVT

- Results

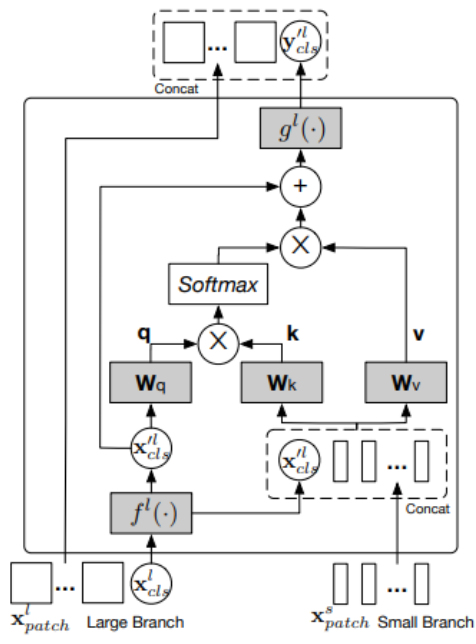
LP	PWAM	P@0.5	P@0.7	P@0.9	oIoU	mIoU
✓	✓	84.46	75.28	34.30	72.73	74.46
	✓	81.46	70.80	30.95	70.78	71.96
✓		81.76	72.76	32.46	71.03	72.31
		77.87	66.93	27.95	68.82	68.87

Table 2. Main ablation results on the RefCOCO validation set.

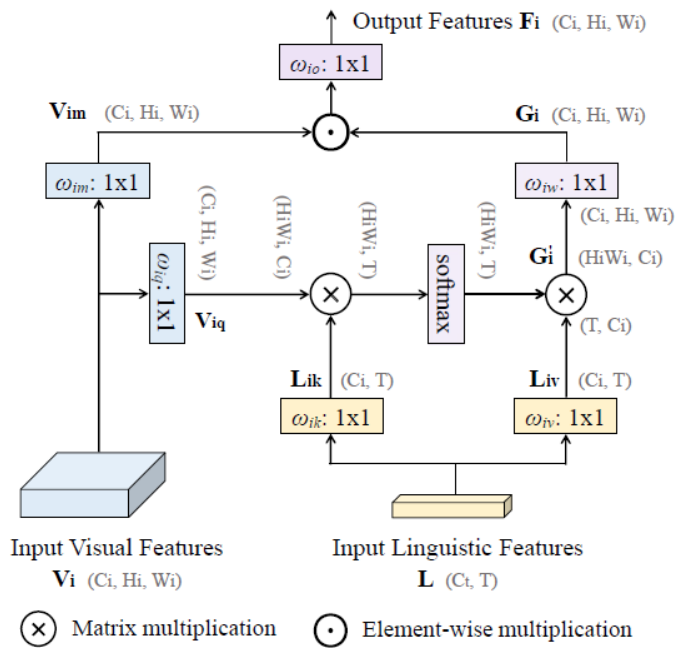


Conclusion

- Multi scale에서 다양한 scale을 서로 참조할 때 사용
- Multimodal은 vision feature가 language feature를 참조하도록 할 때 사용



Cross-attention for large branch



PWAM